

# 一种混沌加密算法的硬件实现

陈 滨, 刘光祜, 张 勇, 周正欧

(电子科技大学电子工程学院 成都 610054)

**【摘要】**在现有的二相混沌加密算法研究的基础上,提出了一种改进的实用混沌加密算法,使其有限字长效应得到了改善,并借助于数字信号处理器TMS320VC5402实现了改进方法。硬件实验结果表明,该方法具有一定的实践可行性和直接的实际应用意义。

**关键词** 实时; 混沌加密; 二相混沌编码; 伪随机码  
**中图分类号** TN975; O332 **文献标识码** A

## A Hardware-Realized Method of Chaotic Encryption

CHEN Bin, LIU Guang-hu, ZHANG Yong, ZHOU Zheng-ou

(School of Electronic Engineering, UEST of China Chengdu 610054)

**Abstract** On the basis of 2-phase chaotic coding, a novel useful chaotic encryption method is proposed and is realized on the digital signal processor – TMS320VC5402. The hardware result shows that the effect of limited word length is improved.

**Key words** real-time; chaotic encryption; 2-phase chaotic coding; pseudo noise code

随着第三代移动通信系统的蓬勃发展,保密通信变得日益重要。在这方面,传统的伪随机(Pseudo Noise, PN)码加密方案显得不能满足要求,主要体现在PN码的数量有限上。混沌的固有特性决定了它可以被用于保密通信。混沌映射对初值的极端敏感性,即所谓的“蝴蝶效应”,使得它对于不同的初值,可以产生大量确定的、不相关的、类似随机的序列簇。文献[1]提出了一种实用的混沌加密通信系统,文献[2-4]分析了二相混沌序列的统计特性及其用于扩频或跳频通信的情况,并通过数值实验将它们的性能与PN码做了对比。对于二相混沌序列的理论研究近于达到成熟,而对于实际应用,还需要对有限字长效应等作进一步的研究。本文对文献[1]提出的方法进行了改进,并借助硬件电路实现了改进的方法。

### 1 混沌加密算法

混沌加密解密的过程如图1所示,与传统的PN码加密解密过程相同,最关键的部分是加密解密的混沌序列构造。图1中的调制、解调可用模2和或异或算法来实现。这里使用单峰的logistic映射,其表达式为:

$$x_{k+1} = ux_k(1 - x_k), \quad x_k \in [0,1], \quad u \in [0,4] \quad (1)$$

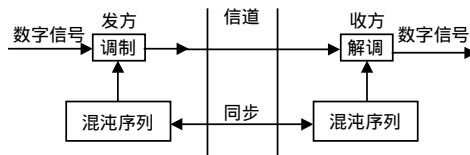


图1 混沌加密解密过程

文献[2-4]关于式(1)用于加密的性能在理论上做了大量的分析,在实际应用中更注重字长对产生混沌序列的影响。对于16 bit定点的TMS320VC5402,根据混沌的遍历性,随着时间的推移,混沌序列必将演化为一个周期序列,而最长的叠代次数必然低于 $2^{16}$ ,实际情况下,可能的叠代次数会更少一些。为了增加字长

效应造成的周期,文献[1]采用多级级联的方法。例如对于二级级联情况,文献[1]强调一个混沌映射定时为另一个混沌映射产生初值序列,两个混沌映射之间没有相互耦合。于是,本文提出了相互耦合的改进,即一个混沌映射定时为另一个混沌映射提供初值的同时,另一个混沌映射也定时为前一个混沌映射提供初值。同时,对文献[1]所表述的实值序列,按峰值点进行二值化,即作如下约定:

$$c_k = \begin{cases} 1, & x_k > 0.5 \\ 0, & x_k < 0.5 \end{cases} \quad \text{或} \quad c_k = \begin{cases} 1, & x_k > 0.5 \\ 0, & x_k < 0.5 \end{cases} \quad (2)$$

式中  $\{c_k\}_{k=0}^{N-1}$  即为混沌序列。对于二级级联情况产生混沌序列的方法如图2所示。

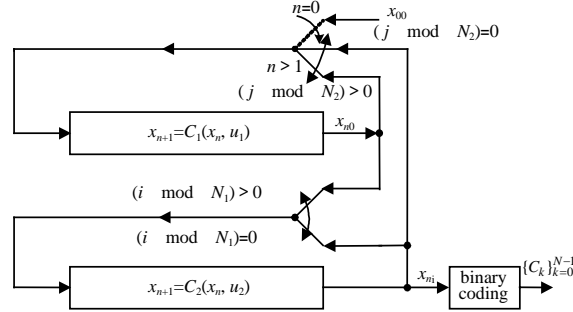


图2 改进的混沌序列产生方法

图2中,  $x_{n+1} = C_1(x_n, u_1)$  和  $x_{n+1} = C_2(x_n, u_2)$  为两个映射,这两个映射可以相同,也可以不同,  $u_1$  和  $u_2$  控制参数,对于相同的映射应取不同值。  $i$  和  $j$  为计数变量,一般可令  $N_2 \gg N_1$ ,初始状态  $n=0$  时,将初值  $x_{00}$  赋给映射  $C_1$ 、 $C_2$  每叠代  $N_1$  次就通过  $C_1$  改变一次初始值,同时,  $C_1$  每叠代  $N_2$  次就通过  $C_2$  改变一次初始值。 $C_1$  是慢叠代,  $C_2$  是快叠代,  $C_2$  每作  $N_1$  次叠代  $C_1$  叠代一次。可以作适当次数的预叠代,以跳过映射的渐变区。采用图2的双向耦合的方法可以保证经过相当长的时间后,即使有一个映射产生的混沌序列演化为周期序列,也因它与另一个映射交换初值而跳出周期态,以有效地克服实际系统中产生混沌序列的周期化效应。数据仿真分析表明:文献[1]的方法周期长度约为3 800步,改进的方法在几乎不增加运算量的基础上,周期长度增加到约为7 200步。

在实际系统中,由图2的  $\{c_k\}_{k=0}^{N-1}$  产生用于加密和解密的混沌序列的方法是这样的:构造一个长为  $L$  的空队列,这个队列称为框架队列。第一次参与运算时,必须由  $\{c_k\}_{k=0}^{N-1}$  充满整个框架队列。其后,每叠代一次固定地由框架队列一端进入一个  $c_k$ ,而另一端则有一个二值码出队,框架队列的长度不变。更新框架队列的方法也可以有多种,一般使用顺序更新即可,也可以使用部分随机洗牌的方法。当  $L=1$  时,即为简单的混沌加密;当  $L>1$  时,即为混沌扩频加密,这里通称为混沌扩频加密。

从图2中还可以看出,收发双方只需要约定初值和两个映射的形式(公钥和密钥可以灵活选择),实际通信时将工作时钟定时器同步了,即可以达到收发双方加密和解密的同步。

## 2 MATLAB仿真

结合实际的加密和解密运算,就上述算法设计出的有限字长混沌序列,使用MATLAB作数值分析。对于框架队列的长度  $L$  较短的情况,例如  $L<10$  时,考虑其相关和平衡性能没有太大意义,这时就视为普通的加密;当框架队列较长时,则有必要分析一下混沌序列的相关和平衡性,这时视为混沌扩频加密。对于  $L=1$  的加密,在解密时只要对应地产生一位解密位参与异或即可;对于  $L>1$  的情况,在解密时不但要产生对应位的解密序列参与异或运算,而且,还要对结果位进行求和,并设置判决门限为0.809 6,根据求和结果和门限比较大小来判定信息位。

给定序列  $\{a_n\}_{n=0}^{L-1}$  和  $\{b_n\}_{n=0}^{L-1}$ ,取值为  $\{0, 1\}$ ,定义它们的归一化“相关”函数(或称为相似性)为:

$$SIM(m) = \frac{1}{L} \left( \sum_{i=0}^{L-1} a_i \otimes b_{(m+i) \bmod L} \right) \quad (3)$$

式中“ $\otimes$ ”为同或运算。如果两个序列完全不相同,则式(3)的结果为0,如果两个序列完全相同,则式(3)

的结果为1。显然,相似性的中值点0.5对应于相关性的0点。由式(3)引申出下面两个峰值参量为衡量标准,即序列最大自相似(旁瓣):

$$SS = \max_{m>0} SIM_{aa}(m) \quad (4)$$

序列最大互相似:

$$CS = \max_m SIM_{ab}(m) \quad (5)$$

显然,对于无噪声解密的情况,式(3)的结果为1。序列最大自相似(旁瓣)和序列最大互相似,即式(4)和(5)计算的结果与1有明显偏离是所期望的。于是,把区间[0.5,1]黄金分割,即把实际有噪声影响情况下,只要式(3)的结果在0.809以上,即认定为正确解密。在MATLAB数值分析时,认定公式(4)和(5)这两个指标均小于0.809,则可以保证不考虑噪声情况下的正确解密,当然以上两个指标越接近0.5越好。如果选取了 $D$ 组序列参与运算,其中的 $D-1$ 组序列设定为干扰序列,计算后 $SS$ 和 $CS$ 大于0.809的序列个数记为 $E$ ,则定义解密出错的概率为 $P_e = E/D \times 100\%$ ,随着序列的演化定义一个随序列演化而解密出错的概率,不妨设定为各次演化的最坏情况,即定义 $P_{em} = \max P_e$ 。

选取了100个不同的初值(将区间(0.3,0.4)进行100等划分),动态产生100组混沌序列参与运算(跳出渐变步的步数 $C_1$ 设为20步、 $C_2$ 设为 $L+20$ 步),即 $D=100$ ,设定 $u_1=3.92$ ( $u_1$ 是密钥,应设置为不规则数值), $u_2=4.0$ ,框架阵列的长度 $L$ 从10到1 000不等, $N_1=2L$ , $N_2=10L$ ,演化步数为1 000步,数值分析结果如表1所示。

表1 混沌序列的相似性分析

指标	框架阵列长序							
	10	20	40	80	100	200	500	1 000
$SS$	1.000	0.800	0.800	0.700	0.720	0.650	0.612	0.606
$CS$	1.000	1.000	0.875	0.788	0.780	0.710	0.648	0.622
$P_e$	1.000	0.914	0.127	0.000	0.000	0.000	0.000	0.000

表1中给出的是序列演化过程中最坏的情况,从下面的分析可以看出表1所得的结果具有代表性和一般性。(1)当序列较短时,例如 $<40$ 时,序列可以作为加密序列,做为扩频序列则效果较差,即抗多址和多径能力不是很好;(2)当序列逐渐加长时,序列的相似性变差,相关性能变好,即使因噪声改变了序列中位的极性,在黄金分割下不会影响数字解扩的正确性;(3)因为考虑了最坏情况的解密出错概率,实际应用中一般不可能达到,所以对于扩频加密来说,序列长度达到40以上就可以了。

同时,当将初始值作为密钥处理时,控制参量 $u_1$ 和 $u_2$ 可以相同。当初始值作为明钥时,控制参量应不相同,且 $u_1$ 尽可能为不规则数,因为,这时映射 $C_1$ 起到了一个明钥生成密钥的作用。

### 3 硬件实验

硬件实验所完成的功能如图3所示。

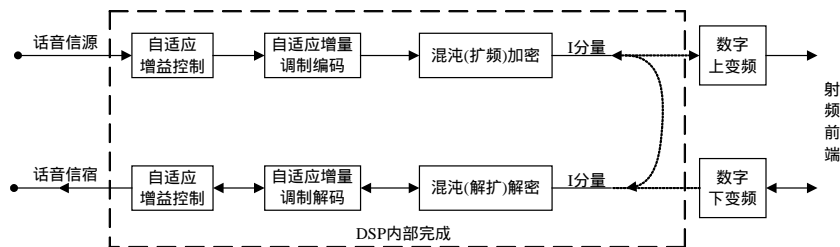


图3 算法实现的功能

由麦克风或音频输出设备作为输入信号源向SY5402EVM板送入语音信号,在SY5402EVM板上经过TLC274放大器放大后,送给TLC320AD50编码器做模数转换,得到的语音数字信号经EPM7128SLC84缓冲后,输入TMS320VC5402完成信号的自适应增益控制(Adaptive Gain Control, AGC)<sup>[5]</sup>、自适应增量调制(Adaptive Delta Modulation, ADM)编码和混沌(扩频)加密后,若是实际通信系统中应该送出到外部数字上变频器或数模转换器。这里重点是完成混沌加密算法,所以,在TMS320VC5402内部作了一个小循环,如图3所示。即完成混沌加密后的信号又在其内部完成混沌解密、ADM解码和AGC,经过缓冲、数模变换、放大之后,输出还原的语音信号。

使用CCStudio实时捕捉了输入语音信号和输出语音信号的波形。图4设置了3个长度为256的存储区段,给出了直接对AGC后的某时刻信号(没有做ADM处理)进行加密前、加密后和解密后的信号波形和谱,从图4上可以看出混沌加密具有扩展频谱的作用。

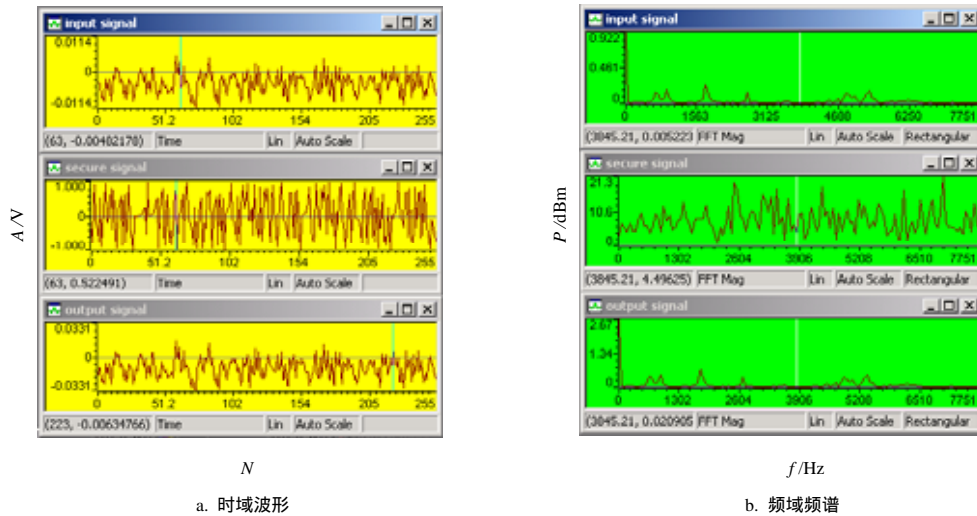


图4 加密信号与加密前后的信号波形和频谱幅度对比

## 4 结束语

本文基于文献[1]的混沌加密方法提出了一种改进的混沌加密方法,并通过MATLAB数值仿真和硬件实验实现了改进方法,分析及试验结果表明改进方法具有运算量小、加密性能好等优点,从而具有一定的实际应用价值。

## 参 考 文 献

- [1] Heidari-Bateni G. A chaotic direct-sequence spread-spectrum communication system[J]. IEEE Trans. on Communications, 1994, 42: 1 524-1 527.
- [2] 王 亥, 胡健栋. Logistic-Map混沌扩频序列[J]. 电子学报, 1997, 25(1): 19-23.
- [3] 凌 聪, 孙松庚. Logistic映射跳频序列[J]. 电子学报, 1997, 25(10): 79-81.
- [4] 蔡国权, 宋国文, 于大鹏. Logistic映射混沌扩频序列的性能分析[J]. 通信学报, 2000, 21(1): 60-63.
- [5] 张 勇. C/C++语言硬件程序设计-基于TMS320C5000系列DSP [M]. 西安: 西安电子科技大学出版社, 2003.

编辑 孙晓丹